

مدل‌سازی استاتیکی تأثیر تکیه‌گاه‌های کمکی فیکسچر

بر تختی سطح حاصل از ماشین‌کاری

بهروز آرزو (استادیار)

محمد رضا بهزادی بور (دکترا)

دانشکده مهندسی مکانیک، دانشگاه صنعتی امیرکبیر

در این مقاله تأثیر متغیرهای تکیه‌گاه کمکی فیکسچر^۱ (شامل موقعیت، صلابت و میزان پیش بار تکیه‌گاه) بر روی تختی سطح حاصل از ماشین‌کاری بهروشن استاتیکی و با استفاده از دو مدل دوبعدی و سه بعدی مورد بررسی قرار می‌گیرد. در مدل دوبعدی قطعه کار به صورت یک تیرکشسان و بر روی دو یا سه تکیه‌گاه مفصلی و گیردار مدل‌سازی می‌شود؛ در مدل سه بعدی قطعه کار به صورت صلب و در تماس با شش جاساز^۲ با آرایش (۱-۲-۳) و سه روبنده^۳، هر یک در مقابل یک سطح مینما که جاسازها بر روی آن قرار گرفته‌اند و سه تکیه‌گاه کمکی، هر یک بر روی یک سطح مینما، در نظر گرفته می‌شود. برای تأیید مدل‌های ارائه شده، نتایج نظری با نتایج حاصل از آزمایش‌های ماشین‌کاری مقایسه می‌شوند.

سال ۱۹۹۱ هانگ لی نگهداری قطعه کار تحت بارهای ماشین‌کاری توسط گیرش‌های اصطکاکی را مورد بررسی قرار داد.^[۲] در سال ۱۹۹۴ دیمیتر روشی برای مدل‌سازی تماس اصطکاکی قطعه کار با جاسازی‌های تخت، کروی و استوانه‌بی ارائه کرد.^[۴] در سال ۱۹۹۵ هوکن برگر با ترتیب دادن آزمایش‌هایی مسئله‌ی جداشدن قطعه کار از جاسازها حين ماشین‌کاری را به عنوان یک عامل ایجاد خطای ماشین‌کاری مورد آزمایش قرار داد.^[۵] در سال ۱۹۹۶ کای برای طرح فیکسچر ورقه‌ها و پوسته‌ها روش N-۲-۱ را پایه گذاری کرد و روشی برای انتخاب محل N+۲+۱ جاساز به کمک روش اجزاء محدود پیشنهاد کرد.^[۶] ورقه‌ها و پوسته‌ها به دلیل صلابت پایین، تحت وزن خود تغییر شکل کشسان می‌دهند و می‌توانند به بیش از ۳ جاساز در یک صفحه تکیه کنند، اما برای قطعاتی غیر از ورقه‌ها و پوسته‌ها در صورتی که بیش از ۳ جاساز در یک صفحه استفاده شود، امکان افزایش خطای نامعین شدن سیستم وجود دارد و به جای جاساز از تکیه‌گاه کمکی استفاده می‌شود. در سال ۱۹۹۷ کای به روش حساب تغییرات^۴ یک روش جامع و تحلیلی برای انتخاب محل بهینه‌ی جاسازها ارائه کرد.^[۷] در سال ۱۹۹۹ هورتادو روشی برای تخمین نیروهای عکس‌العمل در یک فیکسچر ماشین‌کاری با آرایش ۱-۲-۳ ارائه کرد. این روش عکس‌العمل‌ها را قبل از اعمال نیروی ماشین‌کاری با دقت خوبی محاسبه می‌کرد، اما با اضافه شدن نیروی ماشین‌کاری دقت خود را از دست می‌داد.^[۸] در سال ۲۰۰۰ هایمنالی

مقدمه

به دلیل اینکه افزایش بیش از حد تعداد جاسازها و یا مساحت سطح تماس قطعه کار با جاسازها باعث کاهش دقت و قابلیت تکرار فیکسچر می‌شود، در بسیاری از موارد باید از تکیه‌گاه‌های کمکی در کنار جاسازها و روبنده‌ها استفاده کرد. این موارد به طور عمده به سه گروه تقسیم‌بندی می‌شوند:

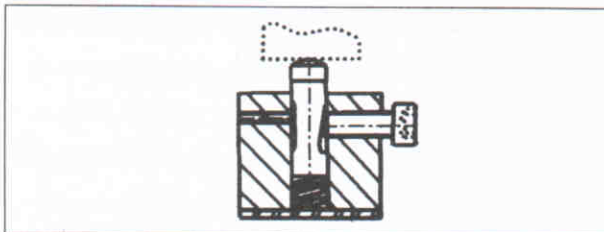
۱. ضعف صلابت قطعه کار ممکن است به گونه‌یی باشد که نتوان از تغییر شکل‌های کشسان قطعه زیر بار ماشین‌کاری جلوگیری کرد.

۲. بالا بودن نیروی ماشین‌کاری به دلیل جنس قطعه کار و یا طبیعت فرایند ماشین‌کاری حتی در زمان ماشین‌کاری پرداخت، ممکن است مستلزم تقویت ساختار گیرش قطعه کار باشد.

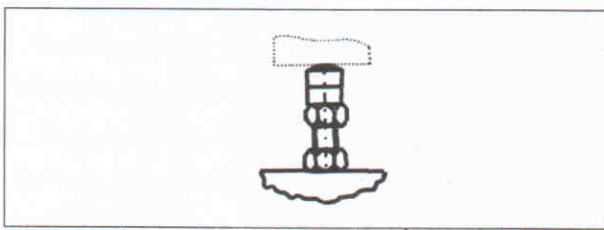
۳. پیچیدگی هندسی و اصولاً طرح قطعه کار از نظر سطوح مرجع ممکن است به گونه‌یی باشد که قطعه کار در تماس با جاسازها و روبنده‌ها به تنهایی، نتواند تعادل مناسب را در مقابل نیروهای ماشین‌کاری داشته باشد.

تاریخچه

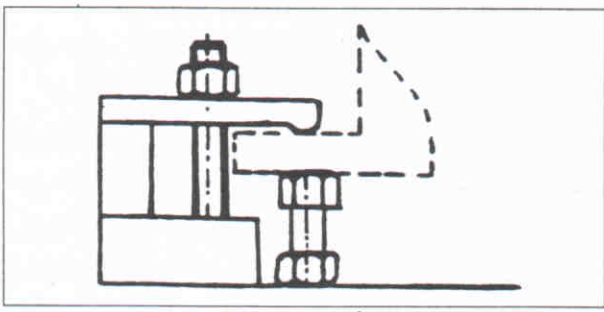
در سال ۱۹۶۵ شاوکی برای اولین بار اثر صلابت فیکسچر بر دقت ماشین‌کاری را بایک مدل دوبعدی ساده مورد بررسی قرار داد.^[۱] در سال ۱۹۸۷ اولین تجزیه‌ی المان محدود قطعه کار در تماس با جاسازها و تحت نیروی گیرش روبنده‌ها توسط لی انجام شد.^[۲] در



شکل ۱. تکیه گاه کمکی متحرک به صورت پین فنری قفل کننده.



شکل ۲. تکیه گاه کمکی متحرک به صورت پیچ تنظیم.



شکل ۳. تکیه گاه کمکی کششی - فشاری.

مرزی فیکسچرها قابل استفاده نیستند. با توجه به این که این بحث بر روی تأثیر تکیه گاه کمکی متاخر شده است، می‌توان گفت که به طور عمده تکیه گاههای کمکی بیشتر به دو منظور مورد استفاده قرار می‌گیرند:

۱. برای تقویت موضعی ضعف قطعه کار در یک دیواره‌ی نازک یا تقویت کل ساختار یک قطعه طویل.

۲. برای تقویت کلی و بهبود سیستم موقعیت دهنی و گیرش یک قطعه کار صلب.

در حالت اول تغییر شکل‌های کشسان قطعه کار در دیواره‌ی نازک آن غیر قابل صرف نظر آن، که در این حالت این دیواره‌ی نازک را می‌توان به صورت تیر دو بعدی مدل‌سازی کرد و بقیه‌ی قطعه کار و فیکسچر را نسبت به آن صلب فرض کرد. در حالت دوم می‌توان از کشسانی کلی قطعه صرف نظر کرد و تنها تغییر شکل‌های کشسان را منحصر به محل‌های تماس قطعه کار با اجزاء فیکسچر کرد و یک مدل سه بعدی تحلیلی برای بررسی اثر تکیه گاه کمکی ارائه داد.

مدل دو بعدی

در این مدل فرضیات زیر صورت می‌گیرد:

یک روش عملی برای تشخیص نقاط ضعف مجموعه قطعه کار و فیکسچر از نقطه نظر صلابت استاتیکی و جبران این ضعف از طریق تعییه‌ی تکیه گاههای کمکی ارائه کرد.^[۱] در نهایت در سال ۲۰۰۱ دیمیتر برای تخمین حداقل میزان پیش بار روینده‌ها در مواردی که مجموعه‌ی فیکسچر و قطعه کار دارای ضعف صلابت ساختاری‌اند، مدلی ارائه کرد.^[۲] در یک جمع‌بندی می‌توان گفت مدل استاتیکی مجموعه‌ی قطعه کار و فیکسچر شامل جاسازها و روینده‌ها تحت بارهای ماشین‌کاری از جنبه‌های مختلف و به روش‌های مختلف مورد تحلیل قرار گرفته است اما به تکیه گاههای کمکی خصوصاً به صورت تحلیلی و با توجه به متغیرهای مختلف آن توجه کافی نشده است.

تکیه گاههای کمکی

از تکیه گاههای کمکی برای جلوگیری از انحراف غیر مجاز قطعه کار حین ماشین‌کاری و برای کاهش بار وارد به جاسازها استفاده می‌کنند. حتی در بعضی از مواقع استفاده از تکیه گاههای کمکی به روینده‌ها این اجزه را می‌دهد تا بتوانند با نیروی بیشتری تماس قطعه با جاسازها را حفظ کنند. تکیه گاه کمکی را باید به گونه‌ی طراحی کرد که بعد از تماس قطعه کار با جاسازها و بسته شدن روینده‌ها یا بعد از این که قطعه کار داخل فیکسچر تحت بارهای ماشین‌کاری به حد کرنش مجاز رسیده باشد، با قطعه کار تماس پیدا کند. تکیه گاه کمکی در مورد اول از نوع متحرک و قابل تنظیم، و در مورد دوم از نوع ثابت است. تکیه گاههای کمکی متحرک می‌توانند به صورت پین‌های فنری قفل کننده (شکل ۱)، یا به صورت پیچ‌های تنظیم (شکل ۲) باشند. تکیه گاههای کمکی ثابت دارای همان طرح جاسازهای ثابت‌اند و تنها ارتفاع آنها کوتاه‌تر از جاسازهای همسطح خود طراحی می‌شوند. تکیه گاههای فوق تنها می‌توانند به قطعه کار عکس العمل فشاری اعمال کنند. اگر روی قطعه کار وبالای یک تکیه گاه کمکی متحرک بعد از تماس با قطعه کار یک روینده جدا از روینده‌های اصلی فیکسچر بسته شود (شکل ۳)، مجموع تکیه گاه کمکی و روینده نقش یک تکیه گاه کمکی کششی - فشاری را ایفا می‌کنند.

روش تحلیلی برای مدل‌سازی استاتیک تأثیر تکیه گاههای کمکی

در صورتی که قطعه کار کشسان فرض شود، تنها با مدل‌سازی دو بعدی قطعه به صورت یک تیر کشسان بر روی دو یا سه تکیه گاه کشسان (به منزله اجزاء فیکسچر) می‌توان برای مسئله روش تحلیلی ارائه کرد. زیرا در حالت سه بعدی تنها فرمول‌هایی برای حل مسئله‌ی ورق‌ها ارائه شده است که این فرمول‌ها نیز برای شرایط

(۴الف) به صورت یک تیر کشسان یکسر گیردار مدل می‌شود که تکیه گاه کمکی به صورت یک فنر فشاری آن را حمایت می‌کند. در این حالت روابط زیر برقرارند:

$$Y_{sm1} = \begin{cases} \frac{R_y X_m^2 (3X_s - X_m)}{6EI} & X_m < X_s \\ \frac{R_y X_s^2 (3X_m - X_s)}{6EI} & X_s < X_m \end{cases} \quad (1)$$

$$Y_{ss1} = \frac{F_s X_s}{3EI} \quad (2)$$

در حالت قطعه کار صلب و فیکسپر کشسان، قسمت درگیر قطعه کار مطابق شکل (۴ب) به صورت دو فنر فشاری و پیچشی مدل‌سازی می‌شود. در این حالت روابط زیر برقرارند:

$$Y_{sm2} = R_y \left[\frac{1}{K_f} + \frac{X_m X_s}{K_t} \right] \quad (3)$$

$$Y_{ss2} = F_s \left[\frac{1}{K_f} + \frac{X_s}{K_t} \right] \quad (4)$$

پیش‌بار اعمالی از سوی تکیه گاه کمکی به قطعه کار قبل از شروع مашین‌کاری در محل تumas تکیه گاه، کرنش Y_{Pl} را به سمت بالا ایجاد می‌کند:

$$Y_{Pl} = \frac{K_s \Delta_s}{K_{beam}} = \frac{K_s \Delta_s (Y_{ss1} + Y_{ss2})}{F_s} \quad (5)$$

بنابراین رابطه‌ی بین نیروی اعمالی به تکیه گاه کمکی پس از اعمال نیروی مашین‌کاری و تغییر شکل آن چنین نوشته می‌شود:

$$F_s = -K_s (Y_{sm1} + Y_{ss1} + Y_{sm2} + Y_{ss2} - Y_{Pl} - \Delta_s) \quad (6)$$

با استفاده از روابط ۱ تا ۶ می‌توان عکس‌العمل تکیه گاه کمکی را تعیین کرد. با مشخص بودن عکس‌العمل تکیه گاه کمکی، جابه‌جایی قطعه زیر بار مашین‌کاری، با فرض قطعه‌ی صلب در اثر دو نیروی مашین‌کاری و عکس‌العمل تکیه گاه کمکی برایر است:

$$\delta_{y2} = Y_{mm2} + Y_{ms2} \quad (7)$$

و جابه‌جایی قطعه زیر بار ماشین‌کاری با فرض قطعه‌ی کشسان و در اثر دو نیروی ماشین‌کاری و عکس‌العمل تکیه گاه کمکی برابر است:

$$\delta_{y1} = Y_{mm1} + Y_{ms1} \quad (8)$$

در نهایت جابه‌جایی کلی قطعه زیر بار ماشین‌کاری، با استفاده از اصل

۱. تنها مؤلفه‌ی نیروی ماشین‌کاری که عمود بر سطح مашین‌کاری است در مدل وارد می‌شود و از تأثیرات بررسی این مؤلفه نیز صرف نظر می‌شود.

۲. نیروی ماشین‌کاری به صورت یک بار مرکز مدل می‌شود و از تأثیر همزمان لبه‌های مختلف ابزارهای چندلبه و درگیری گسترده‌ی ابزار با سطح قطعه کار صرف نظر می‌شود.

۳. از انحرافات ناشی از کرنش ابزار بررسی و خطاهای مашین ابزار صرف نظر می‌شود.

۴. بدلیل مرکز بر روی تأثیر تکیه گاه‌های کمکی، سطح مرتع قطعه کار و جاسازهای فیکسپر عاری از خطای فرض می‌شوند.^[۱۱]

۵. رفتار کل مجموعه اجزاء فیکسپر و قطعه کار خطی فرض می‌شود. نتایج بدست آمده بر روی تکیه گاه‌های کمکی و جاسازهای به کار رفته در کار تحقیقاتی فعلی نیز نشان می‌دهند که می‌توان تقریب خطی مناسبی برای رفتار مکانیکی اجزاء فیکسپر ارائه کرد.^[۱۲] اصولاً قطعه کار تحت بار ماشین‌کاری، درست در محل تماس ابزار بررسی و در جهت عمود بر سطح حاصل از ماشین‌کاری دچار تغییر شکل کشسان می‌شود. میزان این تغییر شکل نیز در طول مسیر مашین‌کاری به علت تغییر بار ماشین‌کاری یا تغییر صلیبت قطعه کار در نقاط مختلف یکنواخت نیست. لذا سطح حاصل از ماشین‌کاری از یک سطح ایده‌آل یا به طور کلی از مسیر ایده‌آل تعریف شده برای ابزار منحرف می‌شود.^[۱۳]

قطعه کار را به دو صورت می‌توان مدل‌سازی کرد:

۱. ممکن است قسمت اعظم قطعه در یک فیکسپر گرفته شده باشد. اما قسمتی از آن که مашین‌کاری می‌شود به دلیل عدم دسترسی به موقعیت مناسب برای تبیه‌ی جاساز و روینده‌ها آزاد مانده باشد و به کمک تکیه گاه کمکی این قسمت آزاد تقویت شود.

۲. ممکن است ناحیه‌ی تحت بار ماشین‌کاری در دو انتهای توسط جاساز و روینده گرفته شده باشد، ولی برای جبران ضعف صلیبت، یک تکیه گاه کمکی ما بین دو جاساز تعییه شود.

حالت اول: تکیه گاه کمکی برای تقویت قسمتی از قطعه کار که آزاد است. با توجه به این که مسئله از نظر استاتیکی نامعین است، از فرض خطی بودن رفتار سیستم و اصل جمع اثرها در کلیه مراحل حل استفاده می‌شود. لذا برای تعیین عکس‌العمل تکیه گاه کمکی با در نظر گرفتن مجموع تغییر شکل‌های کشسان قطعه کار و فیکسپر، ابتدا مسئله به دو حالت ساده‌تر یعنی «قطعه کار کشسان و فیکسپر صلب» و «قطعه کار صلب و فیکسپر کشسان» تجزیه می‌شود و سپس در هر حالت اثر مجموع بارگذاری‌های روی تیر به صورت جمع اثرهای هر بارگذاری محاسبه می‌شود.

در حالت قطعه کار کشسان و فیکسپر صلب، قطعه مطابق شکل

$$Y_{sm1} =$$

$$\begin{cases} \frac{R_y \cdot X_m(l - X_s) [X_s^2 - 2X_s \cdot l + X_m^2]}{6EIl} & X_m < X_s \\ \frac{R_y \cdot X_s(l - X_m) [X_s^2 - 2X_m \cdot l + X_m^2]}{6EIl} & X_m > X_s \end{cases} \quad (10)$$

$$Y_{ss1} = \frac{F_s X_s^2 (l - X_s)^2}{4EIl} \quad (11)$$

و با فرض قطعه کار صلب، مجموعه‌ی فیکسچر و قطعه کار مطابق شکل (۵ ب) مدل‌سازی می‌شود:

$$Y_{sm2} = \frac{R_y(l^2 + 2X_s X_m - l(X_s + X_m))}{K_f l^2} \quad (12)$$

$$Y_{ss2} = \frac{F_s(l^2 + 2X_s^2 - 2X_s l)}{K_f l^2} \quad (13)$$

برای پیش بار اعمالی از سوی تکیه‌گاه کمکی به قطعه کار قبل از شروع ماشین‌کاری رابطه‌ی زیر برقرار است:

$$Y_{PL} = \frac{k_s \Delta_s}{k_{beam}} = \frac{K_s \Delta_s (Y_{ss1} + Y_{ss2})}{F_s} \quad (14)$$

بنابراین بین نیروی اعمالی به تکیه‌گاه کمکی پس از اعمال نیروی ماشین‌کاری و تغییر شکل آن رابطه‌ی زیر برقرار است:

$$F_s = -K_s(Y_{sm1} + Y_{ss1} + Y_{sm2} + Y_{ss2} + Y_{PL} - \Delta_s) \quad (15)$$

با استفاده از روابط ۱۰ تا ۱۵ می‌توان عکس العمل تکیه‌گاه را تعیین کرد. جابه‌جایی قطعه زیر بار ماشین‌کاری با فرض قطعه‌ی صلب تحت نیروی ماشین‌کاری و عکس العمل تکیه‌گاه کمکی برابر است:

$$\delta_{y2} = Y_{mm2} + Y_{ms2} \quad (16)$$

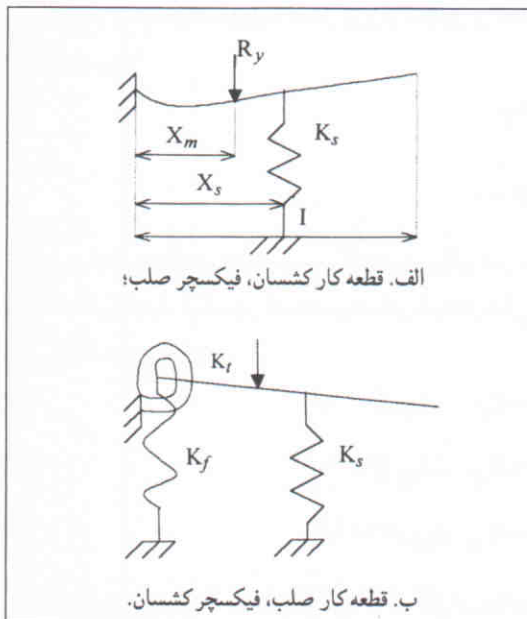
جابه‌جایی قطعه زیر بار ماشین‌کاری با فرض قطعه‌ی کشسان تحت نیروی ماشین‌کاری و عکس العمل تکیه‌گاه کمکی برابر است:

$$\delta_{y1} = Y_{mm1} + Y_{ms1} \quad (17)$$

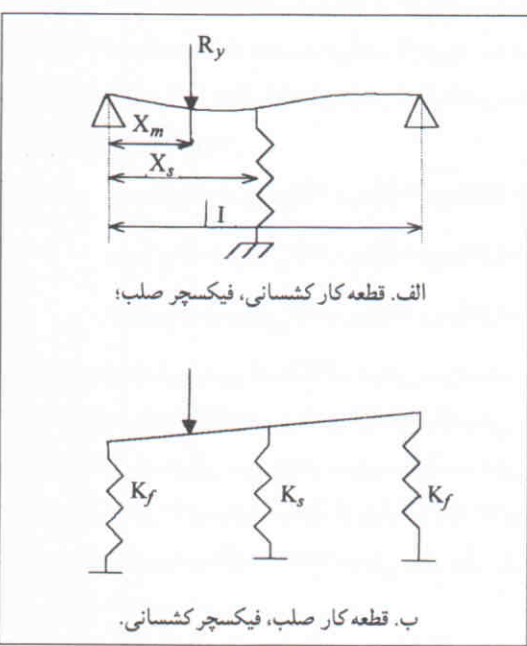
و در نهایت جابه‌جایی کلی قطعه زیر بار ماشین‌کاری با استفاده از اصل جمع اثرها چنین است:

$$\delta_y = \delta_{y1} + \delta_{y2} \quad (18)$$

شکل نهایی روابط ۹ و ۱۸ را می‌توان به کمک برنامه‌ی تحلیلی «میپل» تعیین کرد. با روشی مشابه تأثیر اعمال تکیه‌گاه‌های کمکی



شکل ۴. مدل دو بعدی تکیه‌گاه کمکی برای تقویت قطعه‌ی مهار شده.



شکل ۵. مدل دو بعدی تکیه‌گاه کمکی برای تقویت قطعه‌ی مهار شده.

جمع اثرها چنین است:

$$\delta_y = \delta_{y1} + \delta_{y2} \quad (19)$$

حالت دوم: تکیه‌گاه کمکی برای تقویت قطعه‌ی که از دو طرف مهار شده است. مشابه روش استفاده شده برای حالت اول، با فرض قطعه کار کشسان مجموعه‌ی فیکسچر و قطعه کار مطابق شکل (۵)

(الف) به صورت یک تیر کشسان دو سر مفصل مدل‌سازی می‌شود. در این حالت روابط زیر برقرارند:

محل تماس، در تمام لحظات روابط تعادل نیرو و گشتاور بر قطعه کار حاکم خواهد بود:

$$\sum F = 0 \quad (19)$$

$$\sum M = 0 \quad (20)$$

علاوه بر شش معادله تعادل نیرو و گشتاور، برای هر محل تماس قطعه کار با اجزاء فیکسچر که به صورت فنر با رفتار خطی مدل می‌شود، روابط زیر برقرارند:

$$F_{li} = K_{li} \cdot \Delta_{li}; i = 1..6 \quad (21)$$

$$F_{cj} = K_{cj} \cdot \Delta_{cj}; j = 1..3 \quad (22)$$

$$F_{sk} = K_{sk} \cdot \Delta_{sk}; k = 1..3 \quad (23)$$

به این ترتیب با وجود ۶ جاساز (اصل ۱-۲-۳ و استفاده از سطح مرجع)، ۳ روبنده (یک روبنده در مقابل هر سطح مرجع) و سه تکیه گاه کمکی (یک تکیه گاه کمکی بر روی هر سطح مرجع)، از روابط ۲۱ تا ۲۳، دوازده معادله بدست می‌آید. با توجه به صلب فرض کردن قطعه کار، تغییر شکل کشسان در هر محل تماس به شکل زیر قابل محاسبه خواهد بود:

$$\Delta_{li} = ([d]_{3 \times 1} + [\theta]_{3 \times 1} \times [r_{li}]_{3 \times 1}) \cdot [n_{li}]_{3 \times 1} \quad (24)$$

$$\Delta_{cj} = ([d]_{3 \times 1} + [\theta]_{3 \times 1} \times [r_{cj}]_{3 \times 1}) \cdot [n_{cj}]_{3 \times 1} \quad (25)$$

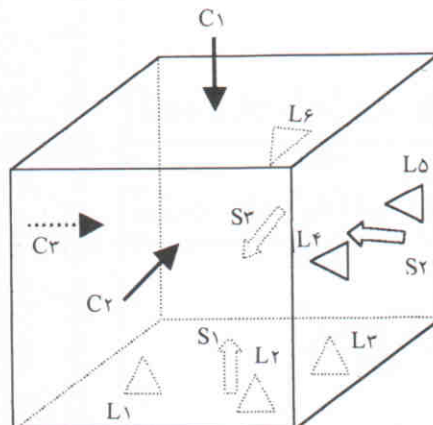
$$\Delta_{sk} = ([d]_{3 \times 1} + [\theta]_{3 \times 1} \times [r_{sk}]_{3 \times 1}) \cdot [n_{sk}]_{3 \times 1} \quad (26)$$

ابتدا محل‌های تماس بدون اصطکاک فرض می‌شوند. برای دوازده عکس العمل اجزاء فیکسچر و شش مؤلفه‌ی جابه‌جایی خطی و دورانی قطعه کار که همگی مجهول‌اند، هجده معادله، شامل شش معادله از روابط ۱۹ و ۲۰ و دوازده معادله از روابط ۲۱ تا ۲۳ وجود دارند که می‌توان این دستگاه 18×18 خطی را در یک رابطه ماتریسی خلاصه کرد:

$$[K]_{18 \times 18} \cdot [X]_{18 \times 1} = [F]_{18 \times 1} \quad (27)$$

بسط رابطه ماتریسی ۲۷ در مرجع ۱۴ ارائه شده است. حال با فرض عدم وجود اصطکاک در محل‌های تماس، مسئله در سه مرحله حل می‌شود:

۱. تماس قطعه کار با جاسازها و بسته شدن روبنده‌ها: موقعیت مرجع قطعه کار موقعیتی است که جاسازها قبل از بسته شدن روبنده‌ها برای قطعه کار ایجاد می‌کنند. پس از بسته شدن روبنده‌ها، نیروهای پیش بار اولیه (f_{cj}) در محل‌های تماس روبنده‌ها با قطعه



شکل ۶. مدل‌سازی سه‌بعدی مجموعه‌ی قطعه کار و فیکسچر [جاسازها (L)، روبنده‌ها (C) و تکیه گاه‌های کمکی (S)].

متعدد نیز قابل محاسبه است.

مدل سه بعدی

فرضیات انجام شده در مدل سه‌بعدی عبارتند از:

۱. بار ماشین‌کاری به صورت متمرکز ولی با سه مؤلفه نیرو و سه مؤلفه گشتاور مدل می‌شود.

۲. ابزار بشی و قطعه کار صلب فرض می‌شوند.

۳. رفتار مکانیکی فیکسچر خصوصاً در محل تماس اجزاء فیکسچر با قطعه کار خطی فرض می‌شود.

۴. از تأثیر تغییر شکل‌های کشسان بر تغییر عمق و نیروی ماشین‌کاری صرف نظر می‌شود.

اصولاً فرض صلب بودن قطعه کار در این مدل در رابطه با بسیاری از قطعات، خصوصاً قطعات چدنی و فولادی که دارای دیواره‌های ضعیف و نازک نیستند، صادق است.

در صورتی که قطعه کار به سه سطح مرجع متعامد آن که در تعییه جاسازها کاربرد دارد خلاصه شود، می‌توان آن را مطابق شکل ۶ به صورت یک مکعب مستطیل با وجوده موازی صفحات مختصات نمایش داد. این موضوع تنها برای سادگی عبارات ریاضی ارائه شده در نظر گرفته شده است و در صورتی که اجزاء فیکسچر بر روی سطوح منحنی قطعه کار قرار گیرند، باز هم با مشخص بودن طرح قطعه کار و بردار نرمال^۵ در نقطه‌ی تماس، راستای نیروی عکس العمل در محل تماس مشخص است و می‌توان همین مدل را مجدداً مورد استفاده قرار داد.

با فرض رفتار قطعه کار به صورت شبه استاتیک^۶ با وجود حرکت‌های محدود و تدریجی قطعه ناشی از کرنش‌های کشسان در

$$F_{li} = K_{li} \cdot (\Delta_{li} + \Delta'_{li} + \Delta''_{li}) \quad (30-1)$$

$$F_{cj} = K_{cj} \cdot (\Delta_{cj} + \Delta''_{cj}) + F_{cj} \quad (30-2)$$

$$F_{sk} = K_{sk} \cdot \Delta_{sk} + F_{sk} \quad (30-3)$$

و در نهایت بردار جابه‌جایی کل قطعه‌ی d و θ نسبت به موقعیت مرجع اولیه‌ی آن به شکل زیر به دست می‌آید:

$$[d] = [d'] + [d''] + [d'''] \quad (31)$$

$$[\theta] = [\theta'] + [\theta''] + [\theta'''] \quad (32)$$

برای مدل‌سازی سطح حاصل از ماشین‌کاری باید جابه‌جایی قطعه کار نسبت به ابزار زیر بار ماشین‌کاری را به دست آورد. سه مؤلفه‌ی جابه‌جایی قطعه کار نسبت به ابزار عبارتند از:

$$\delta_x = d_x - r_{my} \cdot \theta_z + r_{mz} \cdot \theta_y \quad (32-1)$$

$$\delta_y = d_y - r_{mx} \cdot \theta_z - r_{mz} \cdot \theta_x \quad (32-2)$$

$$\delta_z = d_z - r_{mx} \cdot \theta_y + r_{my} \cdot \theta_x \quad (32-3)$$

از سه مؤلفه‌ی فوق بسته به نوع و هندسه‌ی ابزار و هندسه‌ی ماشین‌کاری، مؤلفه‌ی عمود بر سطح حاصل از ماشین‌کاری تعیین‌کننده انحراف ناشی از جابه‌جایی قطعه نسبت به ابزار است. در این مدل متغیرهای شعاع تماس، کیفیت سطح تماس، ابعاد، جنس و سختی تکیه‌گاه کمکی همگی در ضربی سختی K_{sk} خلاصه می‌شوند. میزان پیش بار تکیه‌گاه کمکی و موقعیت آن، دو متغیر دیگر مربوط به تکیه‌گاه کمکی اند که مستقیماً در این مدل وارد شده‌اند.

برای وارد کردن اصطکاک در این مدل، به راحتی می‌توان بردار جابه‌جایی قطعه در محل تماس مماس بر سطح تماس و یا به عبارتی جهت اعمال نیروی اصطکاک را با مشخص بودن هندسه‌ی قطعه کار بر حسب بردار جابه‌جایی d و θ و بردار موقعیت نقاط تماس به دست آورد. به عنوان مثال برای سه جاساز واقع در صفحه $x-y$ ، مؤلفه‌های x و y جابه‌جایی قطعه کار در محل تماس با جاسازها برابرند با:

$$\delta_{lix} = d_x - r_{liy} \cdot \theta_z + r_{liz} \cdot \theta_y; i=1..2 \quad (33-1)$$

$$\delta_{liy} = d_y + r_{lix} \cdot \theta_z - r_{liz} \cdot \theta_x; i=1..3 \quad (33-2)$$

با فرض:

$$A = \sqrt{\delta_{lix}^2 + \delta_{liy}^2} \quad (34)$$

مؤلفه‌های نیروی اصطکاک به صورت زیر محاسبه می‌شوند:

$$f_{lix} = \mu \cdot F_{li} \cdot \delta_{lix} / A \quad (35-1)$$

$$f_{liy} = \mu \cdot F_{li} \cdot \delta_{liy} / A \quad (35-2)$$

کار اعمال می‌شوند. به این ترتیب به دلیل تغییر شکل کشسان در محل تماس قطعه کار با جاسازها (Δ'_{li}). قطعه دچار جابه‌جایی کشسان

Δ_{li} و Δ''_{li} می‌شود. برای حل دستگاه ۲۷ در این مرحله نیروی عکس العمل روبنده‌ها (F_{cj}) می‌باشد و نیازی به استفاده از رابطه‌ی

تکیه‌گاه‌های کمکی و نیروهای ماشین‌کاری، در این مرحله پیش بار و ضربی سختی تکیه‌گاه‌های کمکی و همچنین بار ماشین‌کاری را باید

$$[R]_{3 \times 1} = [M]_{3 \times 1} = 0 \quad (28-1)$$

$$F_{cj} = F_{cj} \circ; K_{cj} = 0 \quad (28-2)$$

$$F_{sk} = 0; K_{sk} = 0 \quad (28-3)$$

در این مرحله باید کنترل شود که نیروی پیش بار روبنده‌ها به گونه‌ی انتخاب شده باشند که نیروی عکس العمل جاسازها ثابت باشند و همچنین میزان انحراف قطعه بیش از حد مجاز نباشد.

۲. تماس تکیه‌گاه‌های کمکی با قطعه کار:

با تماس تکیه‌گاه‌های کمکی به قطعه کار نیروی پیش بار F_{sk} اعمال می‌شود که باعث تغییر عکس العمل‌ها و جابه‌جایی قطعه کار می‌شود. نیروی عکس العمل تکیه‌گاه‌های کمکی در این مرحله برابر F_{sk} می‌باشد و نیازی به استفاده از ضربی سختی و رابطه‌ی ۲۳ نیست. لذا دستگاه ۲۷ این بار باید با شرایط زیر حل شود:

$$F_{sk} = F_{sk} \circ; K_{sk} = 0 \quad (29-1)$$

$$F_{li} = K_{li} \cdot (\Delta_{li} + \Delta'_{li}) \quad (29-2)$$

$$F_{cj} = K_{cj} \cdot \Delta_{cj} + F_{cj} \circ \quad (29-3)$$

با توجه به این که تکیه‌گاه‌های کمکی در صفحه‌ی جاسازها و به موازات آنها قرار می‌گیرند، اعمال پیش بار آنها می‌تواند باعث ضعف تماس قطعه کار با جاسازها شود. لذا پیش بار، ضربی سختی و محل تکیه‌گاه کمکی باید به گونه‌ی انتخاب شود که عکس العمل جاسازها منفی نشود.

۳. اعمال بارهای ماشین‌کاری:

هدف از اجرای این مرحله محاسبه‌ی خطای کلی d و θ ناشی از تغییر شکل‌های کشسان در محل‌های تماس در اثر اعمال عکس العمل‌های اجزای فیکسچر و بارهای ماشین‌کاری است. با وارد کردن نیروها و گشتاورهای ماشین‌کاری و با شرایط ذیل باید دستگاه ۲۷ را حل کرد:

لازم به ذکر است که اگر تعداد اجزاء فیکسچر به بیشتر از ۱۲ عدد افزایش یابد، با توجه به روش استفاده شده در این مدل، به ازای اضافه شدن هر مجھول یک معادله به شکل روابط ۲۲، ۲۱ یا ۲۳ نیز به دستگاه ۲۷ اضافه خواهد شد و تنها ابعاد دستگاه معادلات افزایش می یابد، که بدراحتی قابل حل است.

آزمایش و تأیید مدل های ارائه شده

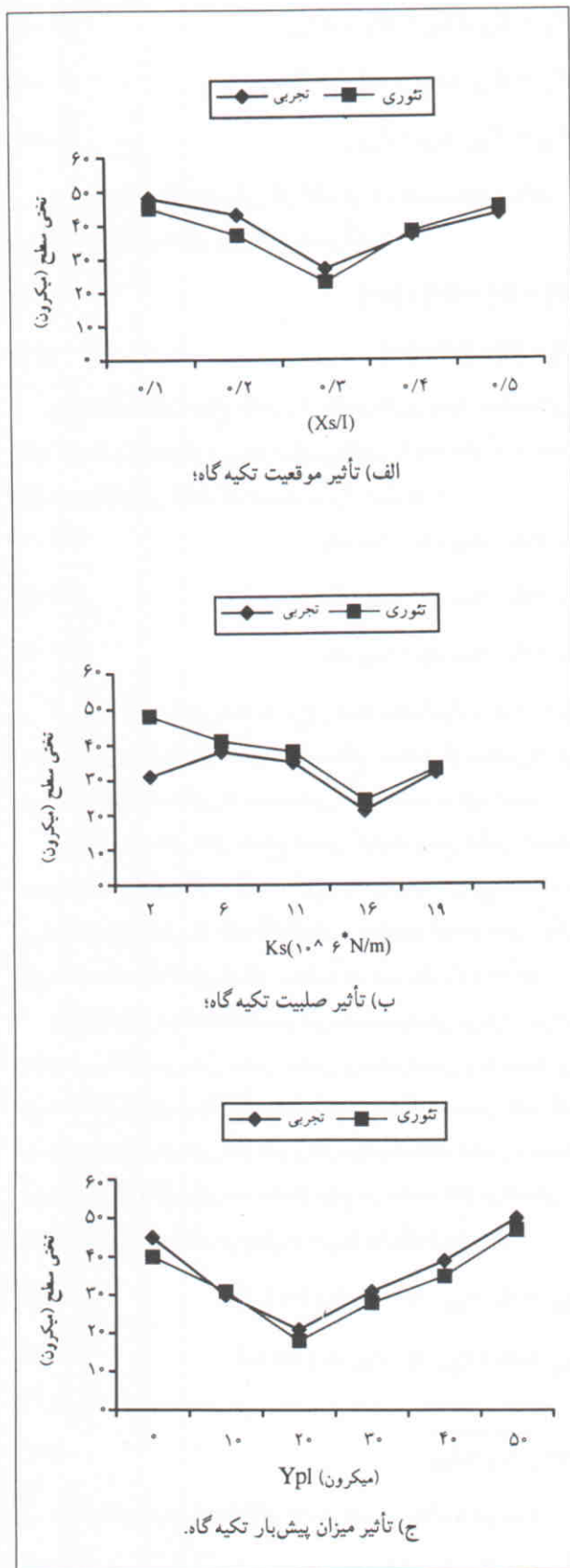
تجهیزات و روش های آزمایش :

برای تأیید صحت تحلیل های نظری ارائه شده، یک مجموعه فیکسچر همنهشتی^۷ ساخته شد. برای آزمایش مدل دو بعدی تسمه هایی از جنس آهن و آلومینیوم فرزکاری شدند و برای آزمایش مدل سه بعدی بر روی پرهی توربین GE-F5 از جنس اینکونل ۷۳۸ سنگ زنی خرشی انجام شد و بر روی پره های از جنس چدن خاکستری و آلومینیوم که از روی پره فابریک ریخته گری شدند، فرزکاری انجام شد. برای مترولوژی سطح حاصل از ماشین کاری نیز از یک مجموعه ساعت دیجیتال و ثبات و پردازشگر اطلاعات «میتوتویو» استفاده شد.^[۱۵]

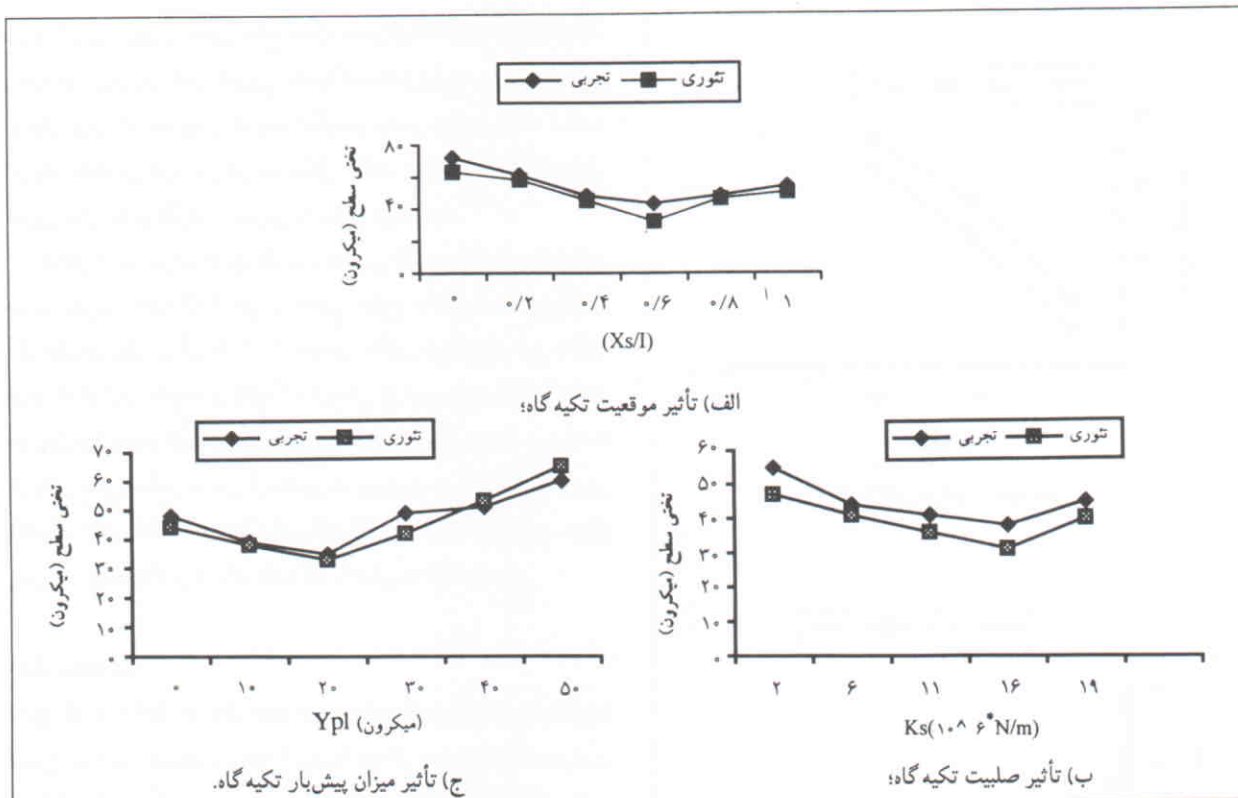
نتایج نظری و تجربی

مدل دو بعدی

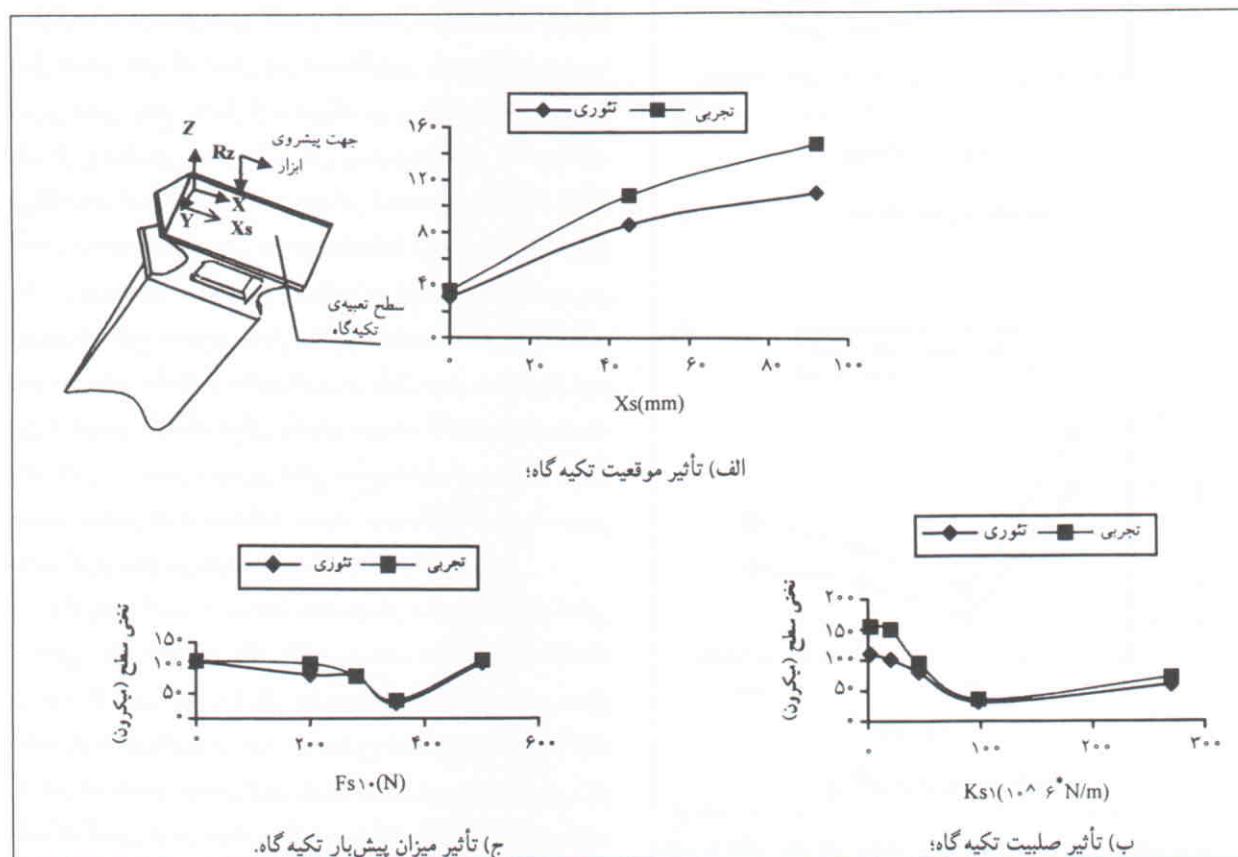
شکل ۷ الف معرف تأثیر موقعیت تکیه گاه کمکی بر تختی سطح حاصل از ماشین کاری است. برای بررسی اثر موقعیت تکیه گاه ضمن ثابت نگه داشتن سایر متغیرها، پیش بار تکیه گاه در هر آزمایش به گونه بی تنظیم شده که میزان کرنش ثابتی در وسط دهانه تیر ایجاد شود. در صورت عدم استفاده از تکیه گاه، تغییر شکل کشسان تیر زیر بار ماشین کاری باعث کاهش براده برداری و برجسته شدن میانه تیر می شود. اعمال تکیه گاه علاوه بر کاهش تغییر شکل کشسان تیر تحت بار ماشین کاری که یک اثر مثبت محسوب می شود، باعث بالارفتن قطعه کار و به نوعی افزایش براده برداری در محل تعیین تکیه گاه می شود، که اثر منفی بر تختی سطح دارد. در حالتی که تکیه گاه در وسط دهانه تیر قرار گیرد، بیشترین کرنش حاصل از پیش بار در محل تکیه گاه رخ می دهد که به علت صلیبت بالای تیر در این نقطه، کمترین پرگشت کشسان تیر نیز در این نقطه وجود دارد. لذا بیشترین گودی و اثر منفی در این نقطه حادث می شود. بنابراین وسط دهانه تیر بهترین موقعیت تکیه گاه نیست. شکل ۷ ب معرف اثر صلیبت تکیه گاه بر تختی سطح است. با توجه به توضیح ارائه شده قبلي، در صورتی که صلیبت تکیه گاه خيلي کم باشد، اثر تقویتی آن کاهش می یابد و افزایش پیش از حد صلیبت و عدم کرنش قطعه در محل تکیه گاه نیز اثر منفی بر تختی سطح را افزایش می دهد. شکل ۷ج



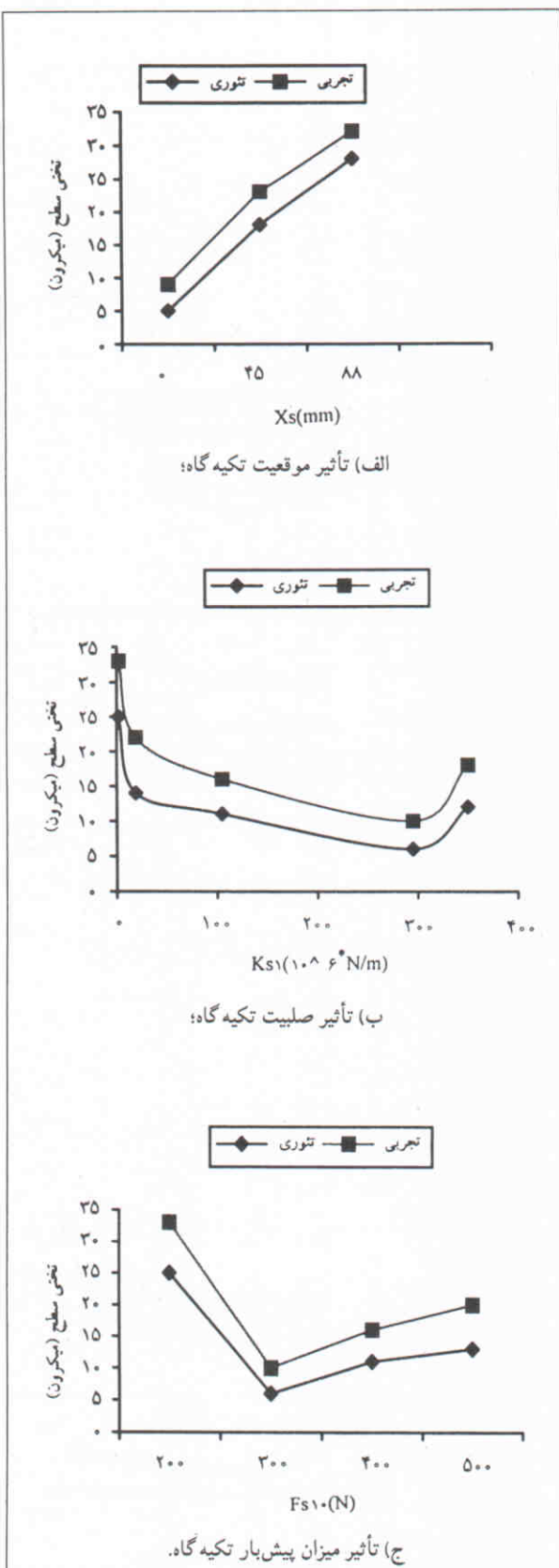
شکل ۷. تأثیر متغیرهای مختلف تکیه گاه کمکی بر تختی سطح حاصل از ماشین کاری برای قطعه های مهار شده از دو سو (قطعه های کشسانی، مدل دو بعدی).



شکل ۸. تأثیر متغیرهای مختلف تکیه گاه کمکی بر تختی سطح حاصل از ماشین کاری برای قطعه مهار شده از یک سو (قطعه‌ی کشسانی، مدل دو بعدی).



شکل ۹. تأثیر متغیرهای مختلف تکیه گاه کمکی بر تختی سطح حاصل از فرزکاری پره چدن خاکستری (قطعه‌ی صلب، مدل سه بعدی).



شکل ۱۰. تأثیر متغیرهای مختلف تکیه‌گاه کمکی بر تختی سطح حاصل از سنگ‌زنی خوشی پره‌اینکونول ۷۳۸ (قطعه‌ی صلب، مدل سه‌بعدی).

معرف اثر پیش‌بار بر تختی سطح است. همان‌گونه که توضیح داده شد، با افزایش پیش‌بار نقش تقویتی تکیه‌گاه افزایش می‌یابد، لیکن افزایش پیش از حد پیش‌بار باعث گودی بیشتر میانه‌ی قطعه کار و افزایش خطای می‌شود. در هر سه شکل ۱۱الف، ۱ب، ۱ج انطباق بسیار خوبی میان نتایج نظری و تجربی به چشم می‌خورد.

شکل ۸ نیز معرف نتایج نظری و تجربی تأثیر موقعیت، صلیبیت و میزان پیش‌بار تکیه‌گاه کمکی بر تختی سطح حاصل از ماشین‌کاری یک قطعه‌ی یک سرگیر دارد است. منحنی مذکور نیز گویای این مطلب است که افزایش فاصله‌ی تکیه‌گاه کمکی از قسمت درگیر قطعه، افزایش صلیبیت و افزایش پیش‌بار تا حد بهینه، می‌تواند باعث افزایش تختی سطح حاصل از ماشین‌کاری شود. هر سه متغیر فوق بر یکدیگر تأثیر گذارند و مثلاً برای تکیه‌گاه با صلیبیت پایین‌تر، میزان پیش‌بار بهینه، بالاتر از یک تکیه‌گاه با صلیبیت بالاتر است.

مدل سه‌بعدی

نتایج نظری حاصل از مدل سه‌بعدی و نتایج آزمایش‌های فرزکاری طرح پرهی توریین ریخته‌گری شده از چدن خاکستری و آزمایش‌های سنگ‌زنی خوشی پرهی توریین مدل GE-F5 از جنس اینکونول ۷۳۸LC به ترتیب در شکل‌های ۹ و ۱۰ خلاصه شده‌اند. همان‌گونه که در منحنی‌های ۳الف و ۴الف ملاحظه می‌شود، بهترین محل تعییه‌ی تکیه‌گاه کمکی زیر قسمت‌گوهی پره، برای رسیدن به بهترین تختی سطح حاصل از ماشین‌کاری، برخلاف تصور عمومی یک طراح فیکسچر، در وسط عرض پره و وسط مسیر ماشین‌کاری زیر ناحیه‌ی گوهی نیست. در توجیه این نتیجه می‌توان گفت که بهعلت محدودیت در محل تعییه‌ی جاسازها و روبنده‌ها و همچنین یکسان نبودن هندسه‌ی تماس جاسازها در نواحی مختلف پرهی توریین با سطح مسطح و منحنی، ضریب صلیبیت مستقیم در راستای عمود بر سطح حاصل از ماشین‌کاری در طول مسیر ماشین‌کاری و قبل از تعییه‌ی تکیه‌گاه کمکی یکسان نیست. لذا بهترین موقعیت تکیه‌گاه برای رسیدن به بهترین تختی سطح، ضعیف‌ترین نقطه در طول مسیر ماشین‌کاری است که عموماً این نقطه در وسط مسیر ماشین‌کاری واقع نمی‌شود.

شکل‌های ۹ و ۱۰ نشان‌دهنده اثر صلیبیت تکیه‌گاه کمکی بر تختی سطح حاصل از ماشین‌کاری هستند. همان‌گونه که ملاحظه می‌شود، افزایش صلیبیت تا یک حد بهینه، باعث بهبود تختی سطح حاصل از ماشین‌کاری می‌شود. در توضیح این موضوع می‌توان گفت که انحراف قطعه‌ی حاصل از نیروی ماشین‌کاری و نیروی پیش‌بار تکیه‌گاه کمکی در دو جهت مخالف می‌تواند یکدیگر را خنثی کند. در صورتی که برای یک پیش‌بار معین میزان صلیبیت از حدی بالاتر

رویندها و جاسازها و میزان بارهای ماشین کاری، طراحی بهینه تکیه گاه کمکی انجام گیرد. طراح نمی تواند به این قانون مرسوم یعنی «تعییه تکیه گاه بدون توجه به نوع، پیش بار و سایر متغیرهای آن در وسط مسیر ماشین کاری زیر قطعه یا درست زیر بار ماشین کاری» اکتفا کند.

تفاوت اساسی بین دو مدل دوبعدی و سه بعدی ارائه شده در این نوشتار این است که در مدل دوبعدی علاوه بر صلیبیت اجزاء فیکسچر، صلیبیت ساختار قطعه کار نیز به صورت متغیر (EI) در مدل وارد می شود و بدليل وجود این متغیر در مدل، میزان تأثیر منفی ناشی از افزایش پیش از حد پیش بار تکیه گاه کمکی تشدید می شود. لذا در صورتی که تکیه گاه کمکی برای تقویت قطعه کار استفاده شود، باید از پیش بارهای پایین تری نسبت به حالت تقویت قطعه کار استفاده کرد. در عوض در مدل سه بعدی تأثیر آرایش جاسازها و رویندها بیشتر مورد توجه قرار گرفته است و در تقویت قطعه کار صلب با کمک تکیه گاه کمکی در عمل نیز باید به نقش آرایش جاسازها و رویندها توجه بیشتری مبذول شود.

رود، انحراف حاصل از نیروی ماشین کاری کاهش یافته و قابلیت خنثی کردن انحراف ناشی از پیش بار تکیه گاه را نخواهد داشت ولذا خط افزایش می یابد.

شكل های ۹ و ۱۰ معرف اثر پیش بار تکیه گاه های کمکی بر تختی سطح حاصل از ماشین کاری هستند. با افزایش پیش بار تا یک حد مشخص، نقش تقویتی تکیه گاه کمکی افزایش می یابد، اما با افزایش پیش از حد پیش بار، نیروی اعمالی از سوی تکیه گاه باعث ضعف پیش فشردگی قطعه نسبت به جاسازها و ایجاد خطای شود. در کلیه شکل های ۹ و ۱۰ انطباق بسیار خوبی میان نتایج نظری و تجربی به چشم می خورد.

نتیجه گیری

بررسی های تجربی و نظری ارائه شده بیانگر این مطلب اند که در طراحی فیکسچر، در صورت نیاز به تعییه تکیه گاه کمکی، باید با در نظر گرفتن کلیه متغیرهای موقعیت، صلیبیت و میزان پیش بار تکیه گاه، به همراه صلیبیت قطعه کار و صلیبیت ساختاری مجموعه

پانوشت

1. fixture
2. locator
3. clamp
4. calculus of variations
5. normal vector
6. quasi static
7. modular

منابع

1. G. S. A. Shawki, M. M. Abdel-Aal, "Effect of Fixture Rigidity and wear on Dimensional Accuracy", *Int. J. Mach. Tool Des. Res.*, **5**, PP. 183-202 (1965).
2. J. D. Lee, L. S. Haynes, "Finite Element Analysis of Flexible Fixturing System", *ASME J. Engineering for Industry*, **109**, PP. 134-139 (1987).
3. S. H. Lee, M.R. Cutkosky, "Fixture Planning with Friction", *ASME J. Enginnering for Industry*, **113**, PP. 320-327 (1991).
4. E. C. De Meter, "The Min-Max Load Criteria as a measure of machining Fixture Performance", *ASME J. Engineering for Industry*, **116**, PP. 500-507 (1994).
5. M. J. Hockenberger, E. C. De Meter, "The Effect of Machining Fixture Design Parameters on Workpiece Displacement", *ASME Manufacturing Review*, **8**, No 1. PP. 22-32 (1995).
6. W. Cai, S. J. Hu, J. X. Yuan, "Deformable Sheet Metal Fixturing Principles, Algorithms and Simulations", *ASME J. Manufacturing Science and Eng.*, **118**, PP. 318-324 (1996).
7. W. Cai, S. J. Hu, J. X. Yuan, "AVariational Method of Robust Fixture Configuration Design for 3-D Workpieces", *ASME J. Manufacturing Science and Eng.*, **119**, PP. 593-602 (1997).
8. J. F. Hurtado, S. N. Melkote, "A Model for Prediction of Reaction Forces in a 3-2-1 Machining Fixture", *J. of Wear*, **231**, PP. 335-341 (1999).
9. R. Haymanali, E. C. De Meter, W. Trethewey, "Development of a compliance Tester for Assessing and reducing the Static Compliance of Fixture-Workpiece Systems", **19(2)**, PP. 108-120 (2000).
10. E. C. De Meter, W. Xie, S. Choudhuri, S. Vallapuzha, M. W. Trethewey, "A Model to Predict Minimum Required Clamp Pre-Loads in light of Fixture-Workpiece Compliance", *Int. J. Mach. Tools & Manufacture*, **41(7)**, PP. 1031-1054 (2001).
11. Y. Rong, Y. Bai, "Machining Accuracy Analysis for Computer-aided Fixture Design Verification", *ASME J. Manufacturing Science and Eng.*, **118**, PP. 289-300 (1996).
12. M. R. Behzadi, B. Arezoo, "The Effect of Additional Support Parameters on Machining Accuracy: Part 1 Flexible Workpiece", *SME 4th International Machining & Grinding Conf., Michigan*, May 7-10, SME Technical Paper. MR 01-332 (2001).
13. F. Koenigsberger, J. Tlusty, "Machine Tool Structures", First Edition, Pergamon Press, **1**, PP. 52-87, (1970).
14. M. R. Behzadi, B. Arezoo, "The Effect of Additional Support Parameters on Machining Accuracy: Part 2-Rigid Workpiece", *SME 4th Internation machining & Grinding Conf, Michigan*, May 7-10, SME Technical Paper. MR01-333 (2001).

۱۵. بهزادی پور محمدرضا، آرزو بهروز، رضایی سیدمهدي، «مدلسازی استاتيکي تأثیر تکیه گاه های کمکی بر تختی سطح حاصل از ماشین کاري قسمت اول: قطعه کار الاستيك (مدل دوبعدی)»، پنجمين كنفرانس بين المللی مهندسي مکانيك ايران، صص ۵۷۵-۵۸۵ (خرداد ۱۳۸۰).